

第二十四章

原子的玻尔理论

近代原子核物理学之父—卢瑟福

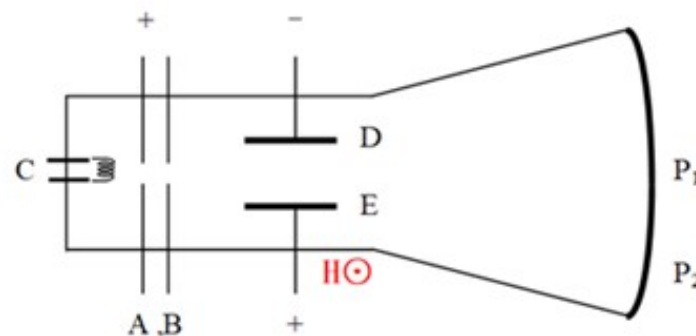
氢原子光谱及其规律

玻尔的氢原子理论

§ 24-1 原子模型

1. 电子的发现

1897年时，英国约瑟夫·约翰·汤姆逊发现了比原子更小的电子。



汤姆逊阴极射线实验

1909年，密立根通过油滴实验测得电子电量。

中性原子=正电物质+负电物质+不带电物质
(质子) (电子) (中子)

——原子中的正负电荷如何分布？

►原子的质量与半径

原子质量的定义： **$1[u] \equiv 1 \text{ 个}^{12}\text{C} \text{ 原子质量}/12$**

$$= \frac{12 \text{ 克}}{12 \times N_A} = \frac{1}{N_A} [\text{克}] = 1.66 \times 10^{-24} [\text{克}]$$

原子质量 $M_A[u] = \text{原子量}[u] = A[u]$

$$\text{一个原子体积} = \frac{4}{3} \pi r^3$$

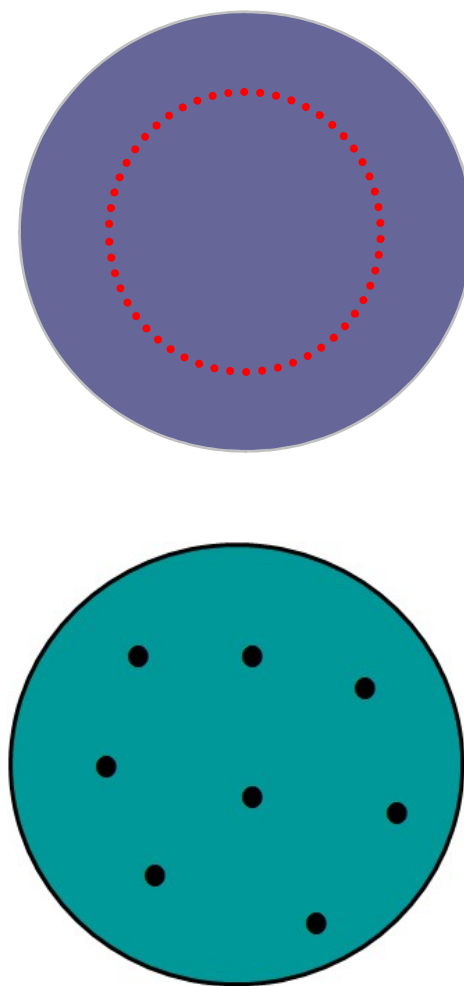
$$= \text{一个原子的质量} / \text{原子质量密度} = \frac{A / N_A}{\rho}$$

$$\text{原子半径 } r = \left(\frac{3A}{4\pi\rho N_A} \right)^{1/3}, \quad r \sim 10^{-10} \text{m} = 1 \text{\AA}$$

2. 汤姆逊原子模型

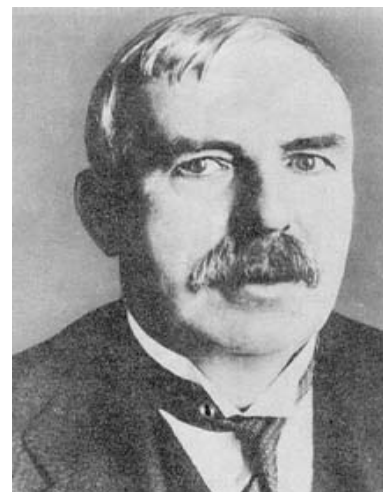
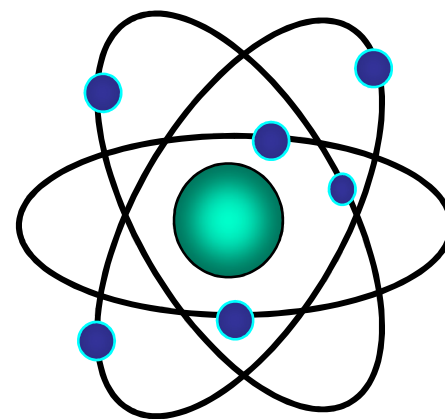
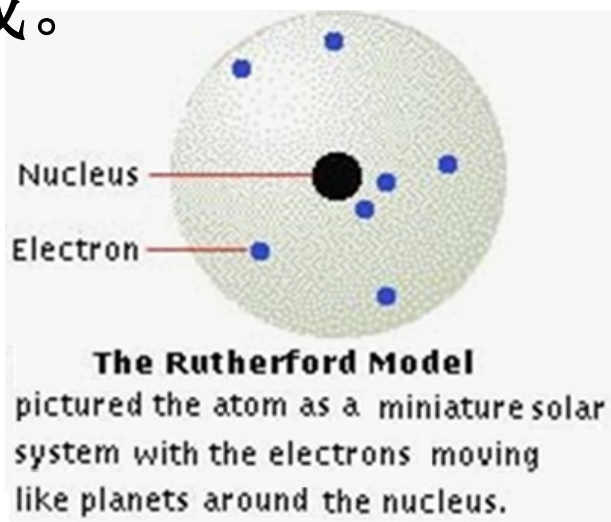
正电荷均匀分布在整個原子球体内，带负电的电子镶嵌在球体内，做简谐振动，并会发射出各种频率的光谱。

该模型又称为“西瓜模型”或“布丁-面包模型”。



3. 卢瑟福原子模型

原子是由带正电的原子核和核外作轨道运动的电子组成。



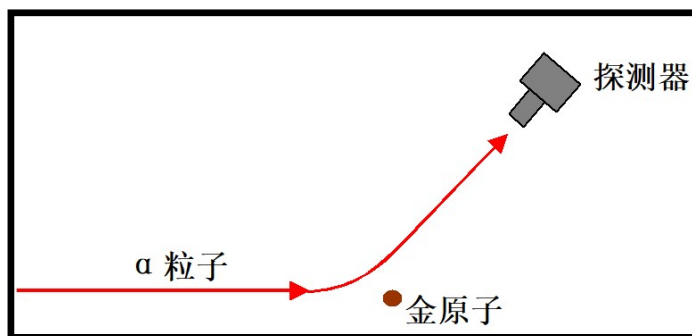
该模型被 α 粒子散射实验所证实。

1). α 粒子散射实验(卢瑟福)

实验目的：证实汤姆逊原子模型的正确性

实验过程：在一个铅盒里放少量的放射性元素钋，它发出的 α 射线从铅盒的小孔射出，形成一束很细的射线射到金箔上。当 α 粒子穿过金箔后，射到荧光屏上产生一个个的闪光点，用围绕金箔移动的显微镜来记录屏上的闪光点。

实验装置：



1). α 粒子散射实验(卢瑟福)

实验结果:

绝大多数 α 粒子散射角: $\sim 2^\circ - 3^\circ$

1/8000的 α 粒子散射角: $> 90^\circ$

奇怪: 相当于炮弹被一张纸反弹回来一样!

分析: 根据汤姆孙模型的计算, 一束 α 粒子穿过金箔后偏离原来方向的角度是很小的, 因为电子的质量不到 α 粒子的1/7400, α 粒子碰到它, 运动方向不会发生明显的改变。

结论: 正电荷集中在原子中心!

2). 解释 α 粒子散射实验

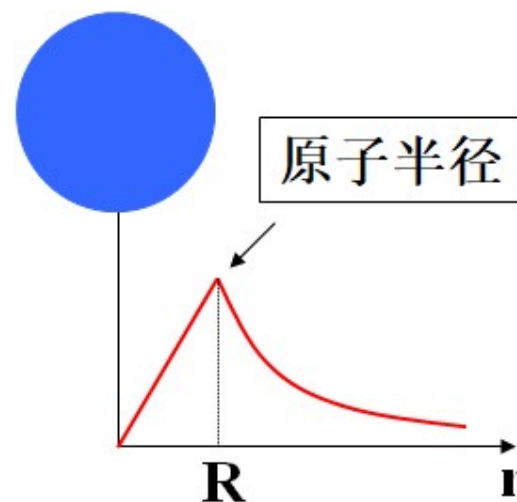
---带正电物质散射(汤氏模型)

原子的正电荷 \mathbf{Ze} 对入射 α 粒子($\mathbf{2e}$)产生的力:

$$F = \begin{cases} \frac{1}{4\pi\epsilon_0} \frac{2Ze^2}{r^2} & r \geq R \\ \frac{1}{4\pi\epsilon_0} \frac{2Ze^2}{R^3} r & r < R \end{cases}$$

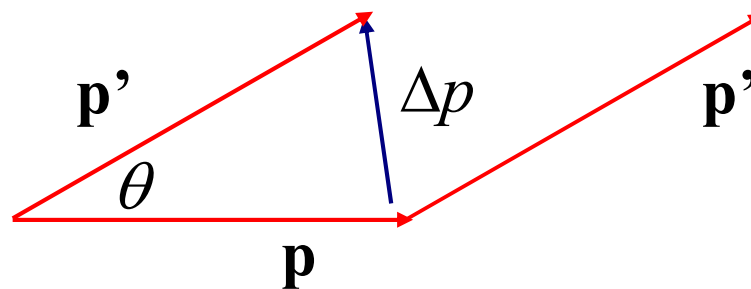
正电荷 \mathbf{Ze} 对 α 粒子($\mathbf{2e}$)的最大作用力:

$$F = \frac{1}{4\pi\epsilon_0} \frac{2Ze^2}{R^2}$$



散射角:

$$\theta = \frac{\Delta p}{p}$$



动量的变化约为

---力乘以粒子在原子度过的时间 **$2R/v$** 。

相对动量的变化

$$\frac{\Delta p}{p} = \frac{2FR/v}{m_{\alpha}v} = \frac{2Ze^2/(4\pi\epsilon_0 R)}{\frac{1}{2}m_{\alpha}v^2}$$

$\frac{e^2}{4\pi\epsilon_0}$

E_{α}

R

$$\approx \frac{2Z \times 1.44 \text{ fmMeV} / 0.1 \text{ nm}}{E_{\alpha} (\text{MeV})} \approx 3 \times 10^{-5} \frac{Z}{E_{\alpha}} \text{ rad}$$

➤ 电子对α粒子的偏转的贡献(对头撞)

实验动量、动能守恒 →

$$m_{\alpha} v_0 = m_{\alpha} v_1 + m_e v_e, \quad \frac{1}{2} m_{\alpha} v_0^2 = \frac{1}{2} m_{\alpha} v_1^2 + \frac{1}{2} m_e v_e^2$$

入射的α粒子

散射后的α粒子

散射后的电子

$$\rightarrow v_e = \frac{2m_{\alpha} v_0}{m_{\alpha} + m_e} \approx \frac{2m_{\alpha} v_0}{m_{\alpha}} = 2v_0$$

$$\rightarrow \Delta p = m_{\alpha} v_0 - m_{\alpha} v_1 = m_e v_e \approx 2m_e v_0$$

$$\rightarrow \frac{\Delta p}{p} \approx \frac{2m_e v_0}{m_{\alpha} v_0} = \frac{2m_e}{m_{\alpha}} \approx \frac{1}{4000} \approx 10^{-4}$$

电子引起α粒子的偏转角非常小，可以说几乎没有什么任何贡献！

$$\frac{1}{2}m_{\alpha}v_0^2 = \frac{1}{2}m_{\alpha}v_1^2 + \frac{1}{2}m_e v_e^2$$



$$m_{\alpha}(v_0^2 - v_1^2) = m_e v_e^2$$



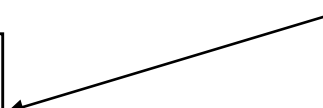
$$m_{\alpha}(v_0 - v_1)(v_0 + v_1) = m_e v_e^2$$



$$m_e v_e (v_0 + v_1) = m_e v_e^2$$



$$(v_0 + v_1) = v_e$$

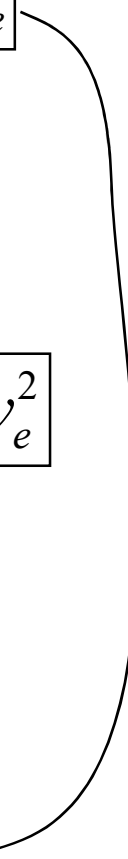


$$v_e = \frac{2m_{\alpha}v_0}{m_{\alpha} + m_e}$$

$$m_{\alpha}v_0 = m_{\alpha}v_1 + m_e v_e$$



$$m_{\alpha}(v_0 - v_1) = m_e v_e$$



➤ α粒子对金(Au)的散射角

$$E_{\alpha} = 5\text{MeV} \quad Z = 79$$

$$\theta = \frac{\Delta p}{p} \approx 3 \times 10^{-5} \frac{Z}{E_{\alpha}} \text{rad} < 10^{-4} \frac{Z}{E_{\alpha}} \text{rad} < 10^{-3} \text{rad}$$

这说明一次散射的散射角约 10^{-3}rad ，因此重复散射也不会产生大角度。

重复散射为随机，平均之后不会朝一个方向特别是不会稳定地朝某一方向散射

——汤姆逊原子模型与实验不符！

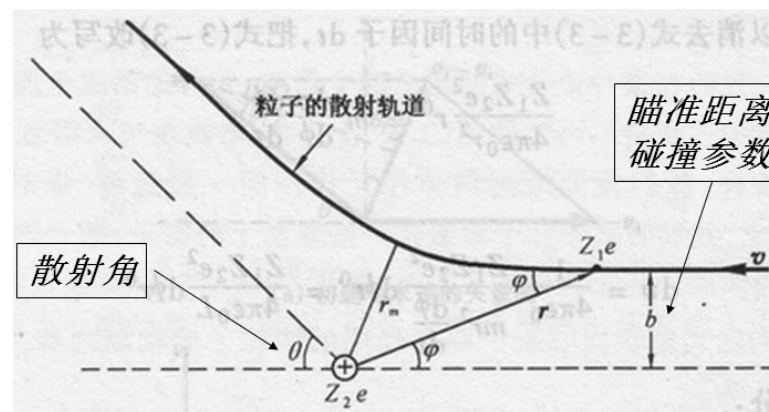
4. 卢瑟福散射*

1). 库伦散射公式

带电粒子被静止核的库仑场散射的角度 θ 与瞄准距离 b 之间的关系:

$$b = \frac{a}{2} \operatorname{ctg} \frac{\theta}{2}$$

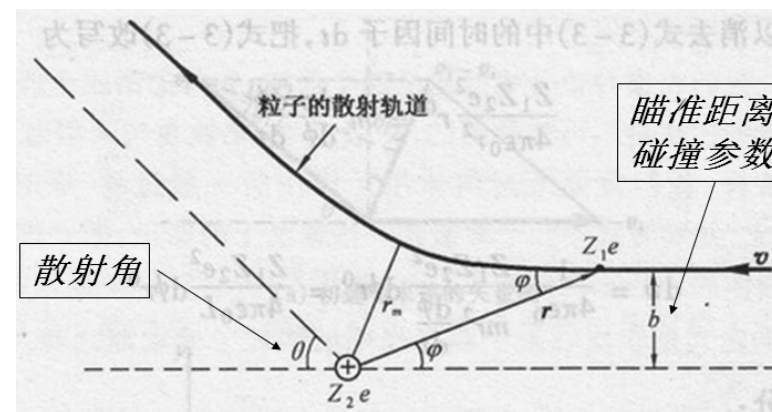
其中 $a = \frac{Z_1 Z_2 e^2}{4\pi\epsilon_0 E}$, 称为库伦散射因子。



远离靶核的入射能量 E ,
电荷 $Z_1 e$ 的带电粒子与
电荷 $Z_2 e$ 的靶核的散射。

2). 库伦散射公式的推导

$$b = \frac{a}{2} \operatorname{ctg} \frac{\theta}{2}$$



假定：

- ① 单次散射；
- ② 点电荷，库仑相互作用；
- ③ 核外电子的作用可略；
- ④ 靶原子核静止(靶核重，晶体结构牢固)。

远离靶核的入射能量 E ，
电荷 Z_1e 的带电粒子与
电荷 Z_2e 的靶核的散射。

根据牛顿第二定律：

$$\vec{F} = m\vec{a} \rightarrow \frac{Z_1 Z_2 e^2}{4\pi\epsilon_0 r^2} \vec{r}^0 = m \frac{d\vec{v}}{dt}$$

中心力场下满足角动量守恒：

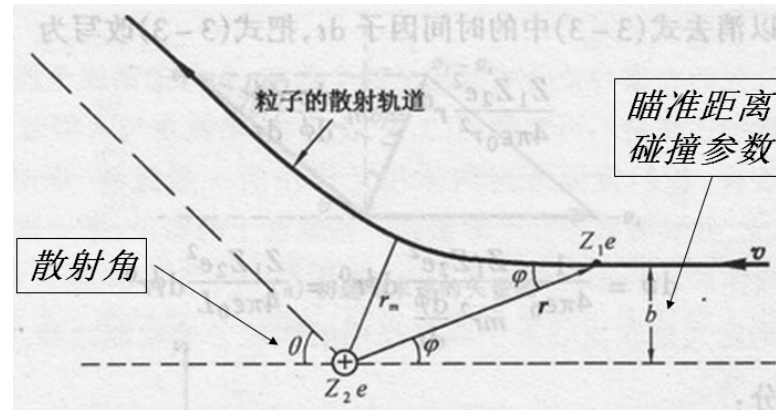
$$mr^2 \frac{d\phi}{dt} = L$$

所以：

$$\frac{Z_1 Z_2 e^2}{4\pi\epsilon_0 r^2} \vec{r}^0 = m \frac{d\vec{v}}{d\phi} \frac{d\phi}{dt}$$

即：

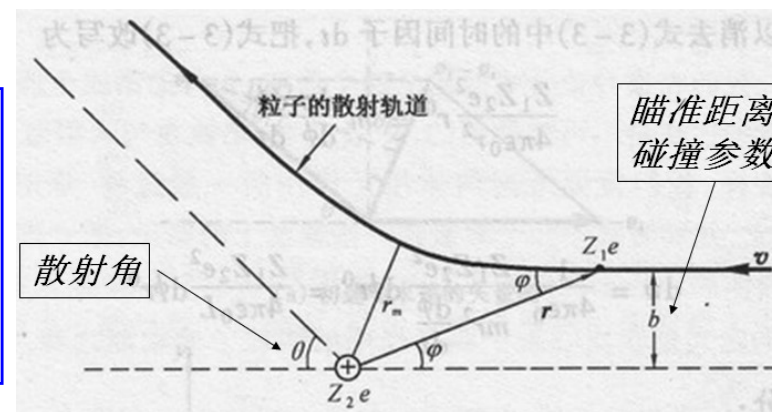
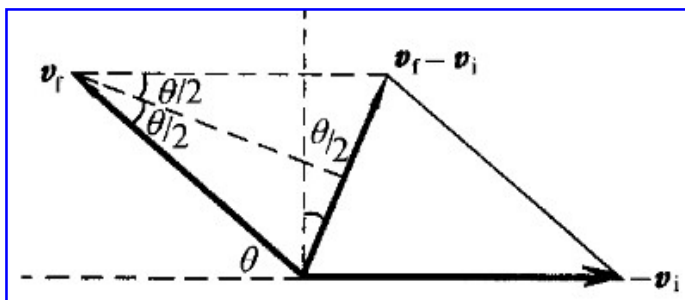
$$d\vec{v} = \frac{1}{4\pi\epsilon_0} \frac{Z_1 Z_2 e^2}{mr^2} d\phi \vec{r}^0 = \frac{Z_1 Z_2 e^2}{4\pi\epsilon_0 L} d\phi \vec{r}^0$$



远离靶核的入射能量 E ，
电荷 $Z_1 e$ 的带电粒子与
电荷 $Z_2 e$ 的靶核的散射。

$$\int d\vec{v} = \frac{Z_1 Z_2 e^2}{4\pi\epsilon_0 L} \int \vec{r}^0 d\phi;$$

$$\int d\vec{v} = \vec{v}_f - \vec{v}_i = |\vec{v}_f - \vec{v}_i| \vec{e}_u$$



由系统能量守恒：

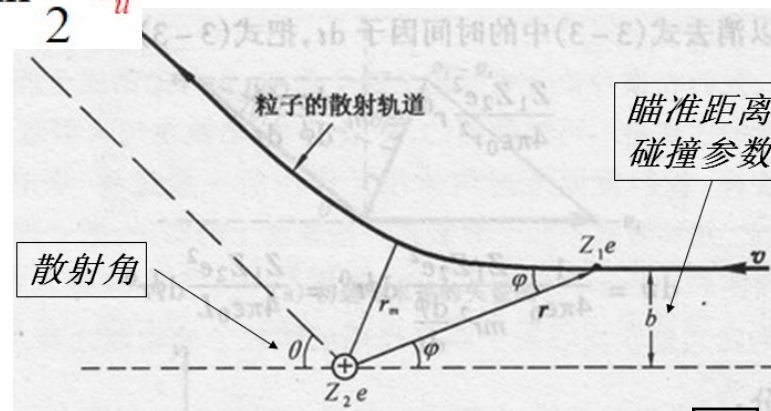
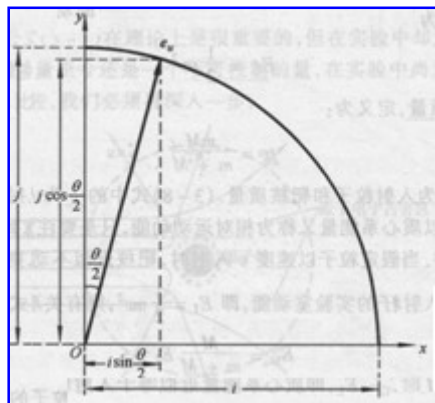
$$E = \frac{1}{2} m |\vec{v}_i|^2 = \frac{1}{2} m |\vec{v}_f|^2 \rightarrow |\vec{v}_i| = |\vec{v}_f| = v;$$

所以： $|\vec{v}_f - \vec{v}_i| = 2v \sin \frac{\theta}{2}$

$$\vec{e}_u = \vec{i} \sin \frac{\theta}{2} + \vec{j} \cos \frac{\theta}{2}$$

$$\int d\vec{v} = \frac{Z_1 Z_2 e^2}{4\pi\epsilon_0 L} \int \vec{r}^0 d\phi;$$

$$\int d\vec{v} = \vec{v}_f - \vec{v}_i = |\vec{v}_f - \vec{v}_i| \vec{e}_u = 2v \sin \frac{\theta}{2} \vec{e}_u$$



$$\int \vec{r}^0 d\phi = \int_0^{\pi-\theta} (\vec{i} \cos \phi + \vec{j} \sin \phi) d\phi = 2 \cos \frac{\theta}{2} \left(\vec{i} \sin \frac{\theta}{2} + \vec{j} \cos \frac{\theta}{2} \right) \leftarrow \vec{e}_u$$

所以:
$$v \sin \frac{\theta}{2} = \frac{1}{4\pi\epsilon_0} \frac{Z_1 Z_2 e^2}{L} \cos \frac{\theta}{2} = \frac{1}{4\pi\epsilon_0} \frac{Z_1 Z_2 e^2}{mvb} \cos \frac{\theta}{2}$$

即:
$$b = \frac{a}{2} \operatorname{ctg} \frac{\theta}{2} \quad a = \frac{Z_1 Z_2 e^2}{4\pi\epsilon_0 E} \quad E = \frac{mv^2}{2} \quad \int d\vec{v} = \frac{Z_1 Z_2 e^2}{4\pi\epsilon_0 L} \int \vec{r}^0 d\phi;$$

$$b \sim \theta: b \uparrow \rightarrow \theta \downarrow; b \downarrow \rightarrow \theta \uparrow$$

➤ 卢瑟福原子行星模型

1911年，卢瑟福建立原子的行星模型。

意义：

确定了原子的核式结构，原子内部十分稀疏

提出了一种研究方法 —— 黑箱方法

不足：

原子稳定性(加速运动→辐射)

原子同一性(原子与太阳系, 初始条件)

原子再生性(原子与太阳系, 相互作用后复原)

➤ 卢瑟福原子行星模型

该行星模型在解释氢光谱规律时，遇到了不可调和的矛盾。

该按照经典物理理论，一个加速电子会以下列功率：

$$-\frac{dE}{dt} = \frac{1}{4\pi\epsilon_0} \frac{2e^2}{3c^3} \left| \frac{d\vec{v}}{dt} \right|^2$$

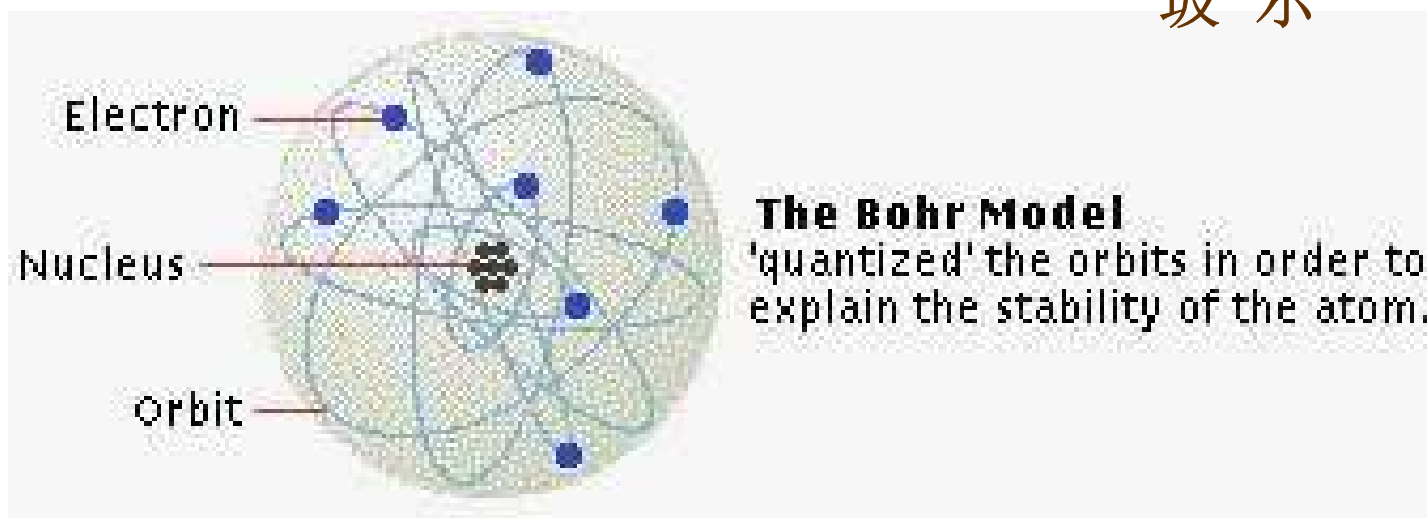
发射连续谱的能量，同时会沿螺旋轨道落向原子核，最后导致原子崩溃。其寿命不会超过 10^{-8}s ，即原子不可能是一个稳定系统。

5.玻尔原子模型

玻尔解释氢原子光谱时发现卢瑟福原子模型有缺陷，就提出了玻尔氢原子理论，核心是轨道角动量量子化条件。



玻尔



§ 24-2 氢原子光谱

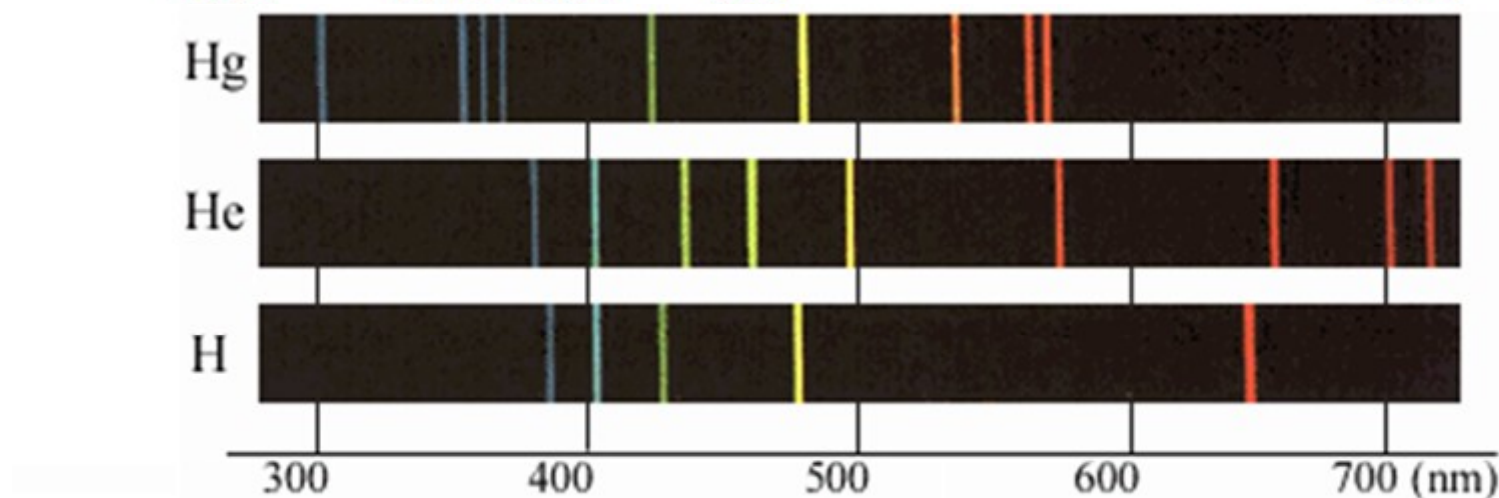
1. 氢原子光谱的实验规律

光谱学是研究物质结构和组分的技术科学。处于聚集状态的物质，如灯泡中的灯丝或者高压下的气体加热到白炽后其辐射为连续谱。

对于低压蒸气或气体，分子相隔甚远，相互之间的作用很弱，它们的发射谱是线状光谱。

光谱线实际上是光谱仪出射孔的像，只是由于波长不同，经过棱镜(或光栅)后折射到了屏上不同的位置。

原子发光是重要的原子的特征之一，光谱学的数据对物质结构的研究具有重要意义。



1885年，瑞士中学教师巴耳末研究了氢原子光谱中可见光的谱线后，提出了适合氢原子光谱一个线系的经验公式，后来经里德伯修改推广

写成光谱学中常见的形式： $\frac{1}{\lambda} = R_{\infty} \left(\frac{1}{k^2} - \frac{1}{n^2} \right)$

称为巴耳末-里德伯公式。 R_{∞} 是里德伯常量，
实验测得 $R_{\infty} = \underline{1.0973931571 \times 10^7 \text{m}^{-1}}$ 。

巴耳末系是其中的特例($k=2$)，位于可见光区：

第一线(α 线)对应于 $n=k+1$ ；

第二线(即 β 线)对应于 $n=k+2$ ； ...，

在线系极限处 $n \rightarrow \infty$ ，有 $\lambda = 364.6 \text{nm}$ 。

后来莱曼在紫外波段发现了一个线系($k=1$)，

而帕邢在红外波段发现另外一个线系($k=3$)。

2. 氢原子光谱线

$$\frac{1}{\lambda} = R_{\infty} \left(\frac{1}{k^2} - \frac{1}{n^2} \right)$$

线系	发现年份	k	n	谱线波段
莱曼 Lyman	1904	1	2,3,4,...	紫外
巴耳末 Balmer	1885	2	3,4,5...	可见
帕邢 Paschen	1908	3	4,5,6...	红外
布拉开 Brackett	1922	4	5,6,7...	红外
普丰德 Pfund	1924	5	6,7,8...	红外
汉弗莱 Humphreys	1953	6	7,8,9...	红外
汉森 Hansen	1973	7	8,9,10...	红外

里兹并
合原则

定义 $T(k) = \frac{R_{\infty}}{k^2}$ 和 $T(n) = \frac{R_{\infty}}{n^2}$ ，则： $\frac{1}{\lambda} = T(k) - T(n)$

$T(k)$ 和 $T(n)$ 称为光谱项，从而氢原子光谱中的任何一条谱线都可用两光谱项的差来表示。

§ 24-3 玻尔氢原子理论

1913年，丹麦物理学家玻尔在卢瑟福原子模型的基础上，引入普朗克和爱因斯坦的量子概念，提出一个有关氢原子的模型。

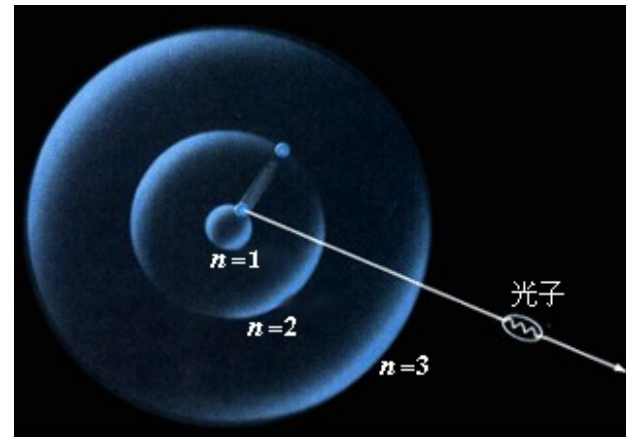
1.玻尔的基本假设

主要思想如下：

①**定态假设**：电子在绕原子核转动时具有一系列稳定的运动轨道，在这些轨道上的电子不辐射能量而处于稳定状态**(定态)**，对于不同的任何定态，原子具有相应的**能量(能级)**；

②频率假设：电子从一个高能量(定态)状态“跳”到一个低能量(定态)状态时，会发射出一个光子，其频率满足：

$$h\nu_{nk} = E_n - E_k$$



③量子化条件：定态要求电子的轨道角动量满足玻尔—索末菲量子化条件：

$$L = mvr = n \frac{h}{2\pi} = n\hbar \quad n = 1, 2, 3 \dots$$

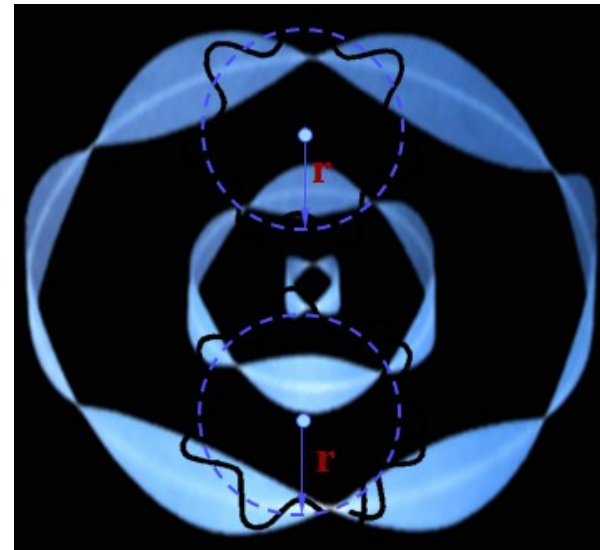
11年后，德布罗意对玻尔的轨道定态理论作出了圆满的物理解释：电子绕核运动时，只有当德布罗意波在轨道上形成驻波时才具有稳定的状态。此时圆周长度是波长的整数倍，即：

$$2\pi r = n\lambda \quad n=1,2,3\dots$$

德布罗意关系式：

$$\lambda = \frac{h}{p} = \frac{h}{mv}$$

两式联立即可得玻尔—索末菲量子化条件！



德布罗意波形成驻波

2. 氢原子的轨道半径和定态能量

电子在轨道绕核运动时，库仑力提供向心力：

$$\frac{1}{4\pi\epsilon_0} \frac{e^2}{r^2} = m \frac{v^2}{r}$$

由玻尔—索末菲量子化条件 $L = mvr_n = n \frac{h}{2\pi}$ 可得：

$$r_n = n^2 \frac{\epsilon_0 h^2}{\pi m e^2} \quad n = 1, 2, 3... \quad \textcircled{1}$$

$$v_n = \frac{1}{n} \frac{e^2}{2\epsilon_0 h} \quad n = 1, 2, 3... \quad \textcircled{2}$$

上式中 **$n=1$** 称为**第一玻尔半径**:

$$r_1 = \frac{\varepsilon_0 h^2}{\pi m e^2} = 0.529 \times 10^{-10} \text{ m}$$

原子的总能量为电子的动能与势能之和:

$$E_n = \frac{1}{2} m v_n^2 - \frac{1}{4\pi\varepsilon_0} \frac{e^2}{r_n}$$

将①②式代入上式, 得:

$$E_n = -\frac{1}{n^2} \left(\frac{m e^4}{8 \varepsilon_0^2 h^2} \right) \quad n=1,2,3...$$

能量是量子化形式

上式中 $n > 1$ 的各能态称为**激发态**， $n = 1$ 是称为

基态能级：

$$E_1 = -\left(\frac{me^4}{8\varepsilon_0^2 h^2}\right) = -13.6\text{eV}$$

基态能量！

原子各轨道半径和能级与基态的关系：

$$r_n = 0.529 \times 10^{-10} n^2 \text{ m} \quad E_n = -\frac{13.6}{n^2} \text{ eV} \quad n = 1, 2, 3 \dots$$

将当 $n \rightarrow \infty$ 时， $E_n \rightarrow 0$ 、 $r_n \rightarrow \infty$ ，电子脱离原子核的束缚，原子被电离，称为**电离态**，使原子电离所需能量称为**电离能**。

因此，基态氢原子的电离能为 **13.6eV** 。

➤ 氢原子光谱的解释

原子按玻尔的频率假设，原子从较高能态 n 跃迁到较低能态 k 时，发射光子的频率：

$$\nu_{nk} = \frac{E_n - E_k}{h} = \frac{me^4}{8\varepsilon_0^2 h^3} \left(\frac{1}{k^2} - \frac{1}{n^2} \right)$$

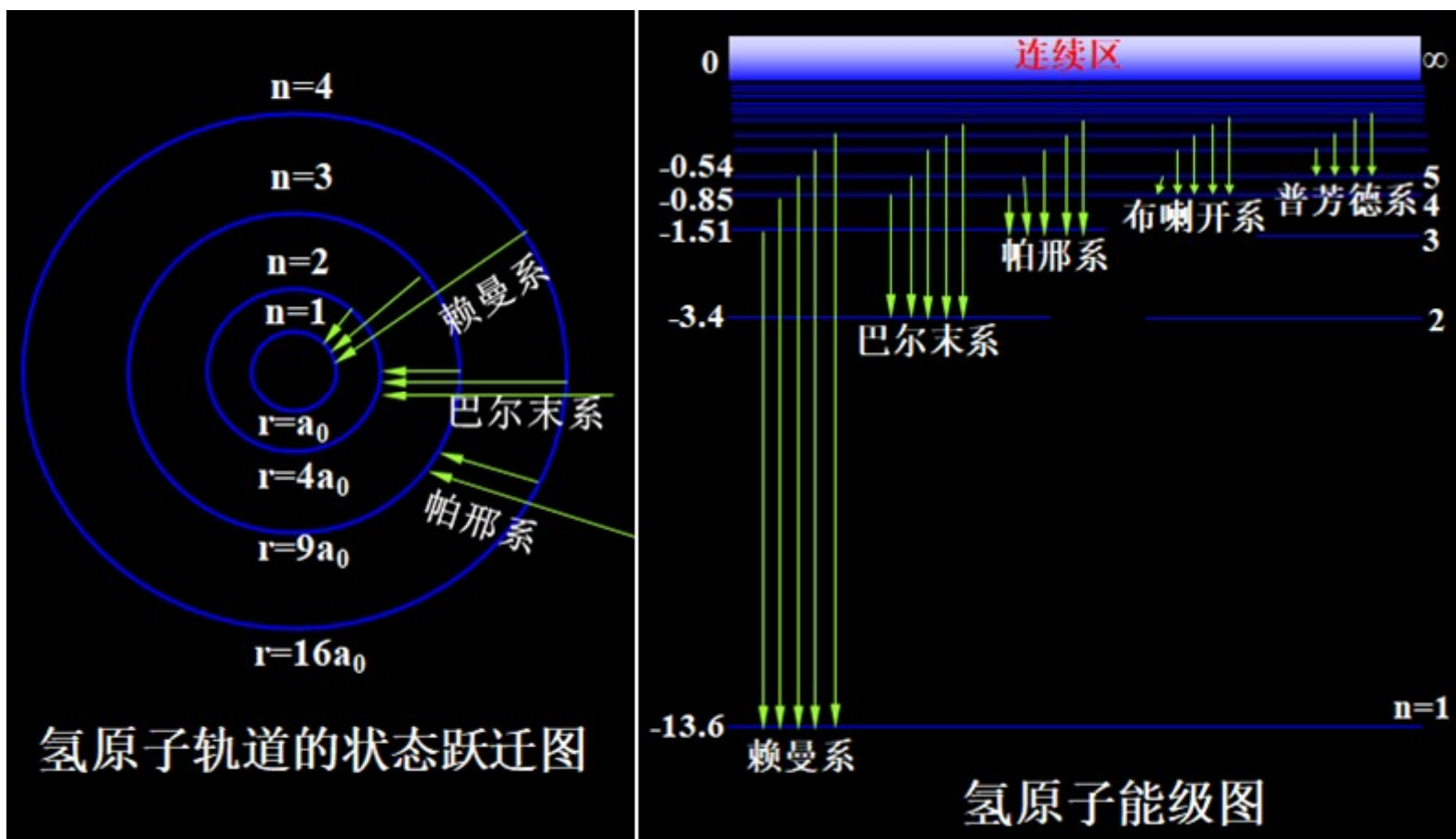
则有：

$$\frac{1}{\lambda_{nk}} = \frac{\nu_{nk}}{c} = \frac{me^4}{8\varepsilon_0^2 h^3 c} \left(\frac{1}{k^2} - \frac{1}{n^2} \right)$$

$$R_{\text{理}} = \frac{me^4}{8\varepsilon_0^2 h^3 c} = 1.097373 \times 10^7 \text{ (1/m)}$$

这与实验值符合得很好： **$R = 1.096776 \times 10^7 \text{ m}^{-1}$**

➤ 氢原子轨道与能级示意图



3.玻尔理论的缺陷

①玻尔理论以经典理论为基础，人为地加上一些量子条件来限制电子的运动，是一种半经典半量子的理论，定态假设与经典理论相抵触；

②玻尔理论无法解释多电子原子光谱，对谱线宽度、强度、偏振等问题也无法处理。

③量子化条件的引进也没有适当的理论解释。

但是，玻尔理论在解释氢原子光谱时取得了巨大成功，对量子力学的建立也有着深远影响。

课堂练习题24-1:

计算氢原子中的电子从量子数 n 状态跃迁到量子数 $k=n-1$ 的状态时所发射的谱线的频率。试证明当 n 很大时，这个频率等于电子在量子数 n 的圆轨道上的绕转频率。

解：按玻尔的跃迁频率公式：

$$\nu_{n,n-1} = \frac{E_n - E_{n-1}}{h} = \frac{me^4}{8\varepsilon_0^2 h^3} \left[\frac{1}{(n-1)^2} - \frac{1}{n^2} \right]$$

当 n 很大时：

$$\nu_{n,n-1} \approx \frac{me^4}{8\varepsilon_0^2 h^3} \frac{2}{n^3} = \frac{me^4}{4\varepsilon_0^2 h^3 n^3}$$

另一方面，可求得电子在半径 r_n 的圆轨道上的绕转频率为：
$$\nu = \frac{v_n}{2\pi r_n}$$

将玻尔理论所得的

$$r_n = n^2 \frac{\epsilon_0 h^2}{\pi m e^2} \quad v_n = \frac{1}{n} \frac{e^2}{2\epsilon_0 h} \quad n = 1, 2, 3, \dots$$

将代入上式，可得：

$$\nu = \frac{nh}{4\pi^2 m} \left(\frac{\pi m e^2}{n^2 \epsilon_0 h^2} \right)^2 = \frac{me^4}{4\epsilon_0^2 h^3 n^3}$$

在量子数很大的情况下，量子理论得到与经典理论一致的结果，这就是玻尔的对对应原理。

课堂练习题24-2:

在气体放电管中，用能量为**12.5eV**的电子通过碰撞使氢原子从基态被激发。问受激发的原子再向低能级跃迁时，能发射几条光谱线？

解：按设氢原子全部吸收电子的能量后最高能激发到第 **n** 个能级，此能级的能量为

$$-\frac{13.6}{n^2} eV$$

所以：

$$E_n - E_1 = 13.6 - \frac{13.6}{n^2} \leq 12.5 \text{ eV}$$

上把 $E_n - E_1 = 12.5\text{eV}$ 代入上式得：

$$n^2 = \frac{13.6}{13.6-12.5} = 12.36, \longrightarrow n = 3.5$$

原子因为 n 只能取整数，

所以氢原子最高能激发到 $n=3$ 的能级，当然也能激发到 $n=2$ 的能级。

因此，受激发的原子向低能跃迁时，总计可能会产生 3 条谱线：

$$3 \rightarrow 2, \quad 3 \rightarrow 1, \quad 2 \rightarrow 1。$$

§ 24-4 量子力学对氢原子的描述

用薛定谔方程来求解氢原子图象所得结果与玻尔模型有很大差别。

1. 氢原子的薛定谔方程*

设氢原子的原子核静止，电子质量 m ，受库仑场作用的势能为：

$$U = -\frac{1}{4\pi\epsilon_0} \frac{e^2}{r}$$

氢原子中电子的定态薛定谔方程为：

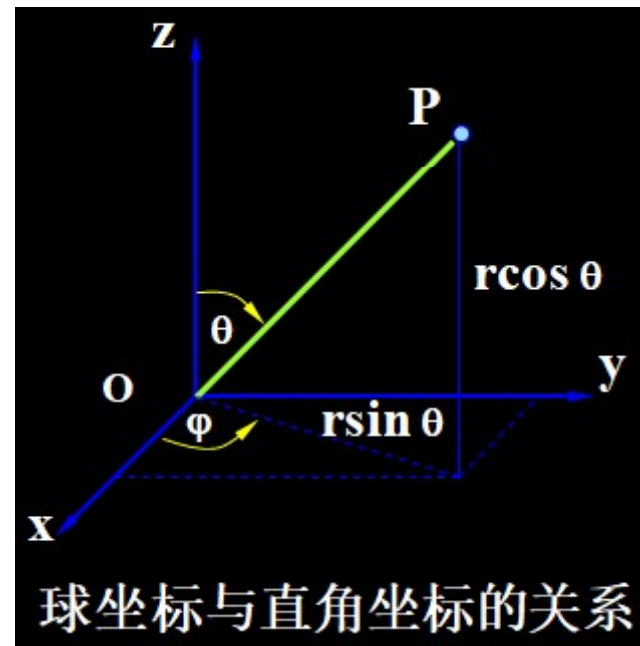
$$\frac{\partial^2 \psi}{\partial x^2} + \frac{\partial^2 \psi}{\partial y^2} + \frac{\partial^2 \psi}{\partial z^2} + \frac{2m}{\hbar^2} \left[E + \frac{e^2}{4\pi\epsilon_0 r} \right] \psi(\mathbf{r}) = 0$$

由于势场的球对称性，采用球坐标求解更为方便，坐标变换为：

$$x = r \sin \theta \cos \varphi$$

$$y = r \sin \theta \sin \varphi$$

$$z = r \cos \theta$$



经坐标变换后薛定谔方程为：

$$\frac{1}{r^2} \frac{\partial}{\partial r} \left(r^2 \frac{\partial \psi}{\partial r} \right) + \frac{1}{r^2 \sin \theta} \frac{\partial}{\partial \theta} \left(\sin \theta \frac{\partial \psi}{\partial \theta} \right) + \frac{1}{r^2 \sin^2 \theta} \frac{\partial^2 \psi}{\partial \varphi^2} + \frac{2m}{\hbar^2} \left(E + \frac{e^2}{4\pi\epsilon_0 r} \right) \psi = 0$$

由于势能 $U(\mathbf{r})$ 仅是 \mathbf{r} 的函数，可用分离变量法求解，将波函数写作：

$$\psi(r, \theta, \varphi) = R(r)\Theta(\theta)\Phi(\varphi)$$

将此式代入上式，通过分离变量可得三个常微分方程：

$$\frac{d^2 \Phi}{d\varphi^2} + m_l^2 = 0 \quad (1)$$

$$\frac{1}{\sin \theta} \frac{d}{d\theta} \left(\sin \theta \frac{d\Theta}{d\theta} \right) + \left[l(l+1) - \frac{m_l^2}{\sin^2 \theta} \right] \Theta = 0 \quad (2)$$

$$\frac{1}{r^2} \frac{d}{dr} \left(r^2 \frac{dR}{dr} \right) + \left[\frac{2m}{\hbar^2} \left(\frac{e^2}{4\pi\epsilon_0 r} + E \right) - \frac{l(l+1)}{r^2} \right] R = 0 \quad (3)$$

根据定态波函数满足的标准条件，分别求解以上三式，即可得定态波函数 $\psi(r, \theta, \varphi)$ 。

2.量子化条件和量子数

1).能量量子化和主量子数n

求解方程(3)使 $\mathbf{R(r)}$ 满足标准条件，求解过程表明，能量必须满足以下量子化条件：

$$E_n = -\frac{1}{n^2} \left(\frac{me^4}{8\epsilon_0^2 h^2} \right) \quad n = 1, 2, 3, \dots$$

n 称为**主量子数**。上式与玻尔所得氢原子能级公式一致，但这里是求解薛定谔方程过程中自然得出的结果。而玻尔是由假设的角动量量子化条件导出以上结果的。

2). 轨道角动量量子化和角量子数l

在求解方程(2)(3)时，当原子处于第n个能级上时，电子绕核旋转的角动量L为：

$$L = \sqrt{l(l+1)} \frac{h}{2\pi} = \sqrt{l(l+1)} \hbar \quad l = 0, 1, 2, \dots, (n-1)$$

l称为角量子数(或副量子数)。这种角动量常称为电子的轨道角动量。当n给定时，l取n个不连续的数值。

通常用s, p, d, f等表示l=0, 1, 2, 3 ...等各种量子状态。

2).轨道角动量量子化和角量子数l

在求解方程(2)(3)时，当原子处于第**n**个能级上时，电子绕核旋转的角动量**L**为：

$$L = \sqrt{l(l+1)} \frac{h}{2\pi} = \sqrt{l(l+1)} \hbar \quad l = 0, 1, 2, \dots, (n-1)$$

如：**1s**表示**n=1, l=0**的量子态，

2p表示**n=2, l=1**的量子态。

量子力学结果：角动量**L** 的最小值为 **0**；而玻

尔理论的结果：其角动量**L** 最小值为 **$h/2\pi$** 。

实验已经证明：量子力学的结果是正确的。

3). 轨道角动量空间量子化和磁量子数 m_l

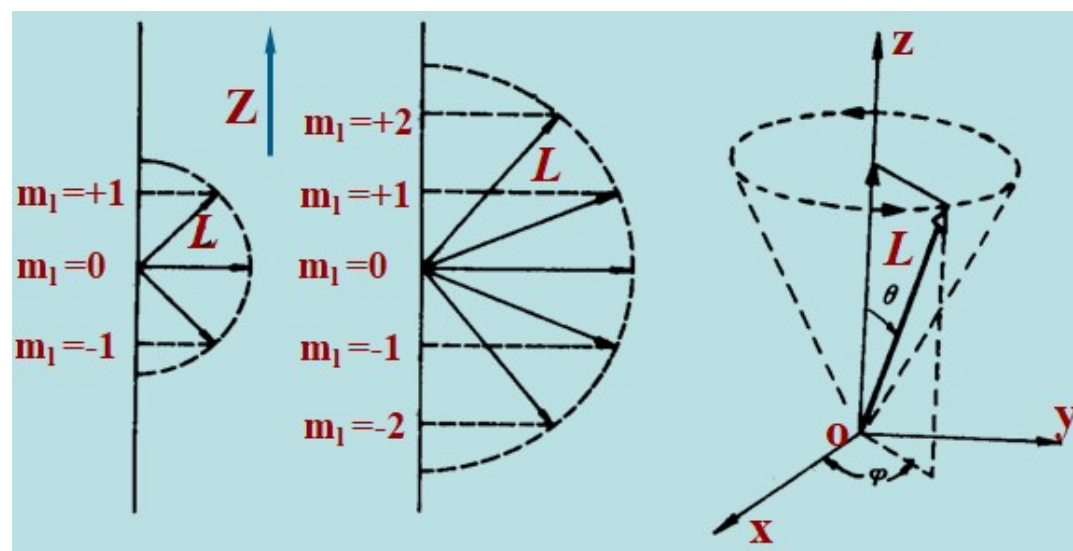
求解方程(1)，可得轨道角动量矢量 \mathbf{L} 在空间的取向也是量子化的，在指定的 \mathbf{Z} 轴方向的分量具有特定值，即：

$$L_z = m_l \frac{h}{2\pi} = m_l \hbar \quad m_l = 0, \pm 1, \pm 2, \dots, \pm l$$

m_l 称为磁量子数。对给定 l 值， m_l 有 $2l+1$ 个取值，这种现象称为空间量子化。

如图： $l=1$ 时， m_l 可取0和 ± 1 ，即 L_z 有三种可能值，即轨道角动量在空间有三种取向。

而 $l=2$ 时， m_l 可取0、 ± 1 和 ± 2 ，即 L_z 有五种可能值，即轨道角动量在空间有五种取向。



4). 氢原子能级的简并度

氢原子的能量只与主量子数 n 有关，而波函数却决定于三个量子数 n 、 l 、 m_l 的取值。即： n 一定时， l 有 n 个取值； l 一定时， m_l 又有 $2l+1$ 种取值。因此，将同一能级对应不同量子状态的数目称为能级的简并度，对氢原子能级的简并度为：

$$\sum_{l=0}^{n-1} (2l+1) = n^2$$

---氢原子能级 n 共有 n^2 个不同状态

5). 塞曼效应*

当原子处于外磁场中时， l 相同而 m_l 不同的状态，原子的能量将不同，从而会引起原子能级在外磁场中进行分裂。此现象在**1898**年由荷兰物理学家塞曼首先发现，故称塞曼效应。

电子绕核运动具有轨道角动量 \mathbf{L} ，同时具有电子磁矩 μ_e :

$$\vec{\mu}_e = -\frac{e}{2m} \vec{L}$$

$$(\mu_e = I\pi r^2 \quad I = \frac{dq}{dt} = \frac{e}{2\pi r / v}$$

$$\mu_e = \frac{ev}{2\pi r} \pi r^2 = \frac{e}{2m} mrv = \frac{e}{2m} L)$$

考虑到电子带负电， μ_e 与 L 反向有 $\vec{\mu}_e = -\frac{e}{2m} \vec{L}$

由于轨道角动量是量子化的，磁矩在磁场方向的投影也量子化。原子磁矩与磁场的磁相互作用能：

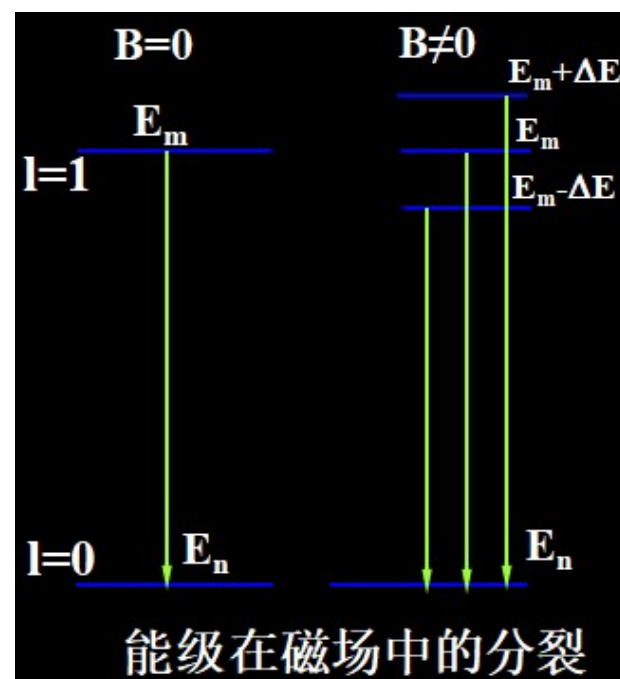
$$\Delta E = -\vec{\mu} \cdot \vec{B}$$

不能任意取值，只能取**(2l+1)**个分立值。

例如 $l=1$ 有 $m_l = 0, \pm 1$ ，使氢原子的第一激发态分裂成三个能级，原有的一条谱线分为三条。

氢原子的每一个定态由三个量子数 n 、 l 、 m_l 决定，因此氢原子的波函数可写成：

$$\psi_{nlm_l}(r, \theta, \varphi) = R_{nl}(r) \Theta_{lm_l}(\theta) \Phi_{m_l}(\varphi)$$



下表中列出了氢原子的几个波函数：

n	l	m_l	$\psi_{nlm_l} = R_{nl} \Theta_{lm_l} \Phi_{m_l}$		
			$R_{nl}(r)$	$\Theta_{lm_l}(\theta)$	$\Phi_{m_l}(\varphi)$
1	0	0	$\frac{2}{\sqrt{a_0^3}} e^{-r/a_0}$	$\frac{1}{\sqrt{2}}$	$\frac{1}{\sqrt{2\pi}}$
2	0	0	$\frac{1}{\sqrt{(2a_0)^3}} (2 - \frac{r}{a_0}) e^{-r/2a_0}$	$\frac{1}{\sqrt{2}}$	$\frac{1}{\sqrt{2\pi}}$
2	1	0	$\frac{1}{\sqrt{(2a_0)^3}} \frac{r}{\sqrt{3}a_0} e^{-r/2a_0}$	$\sqrt{\frac{3}{2}} \cos\theta$	$\frac{1}{\sqrt{2\pi}}$
2	1	± 1	$\frac{1}{\sqrt{(2a_0)^3}} \frac{r}{\sqrt{3}a_0} e^{-r/2a_0}$	$\sqrt{\frac{3}{2}} \sin\theta$	$\frac{1}{\sqrt{2\pi}} e^{\pm i\varphi}$

氢原子的几个归一化波函数

3. 氢原子中电子的概率分布和电子云

电子按波函数的统计解释，电子出现在原子核周围的概率密度为：

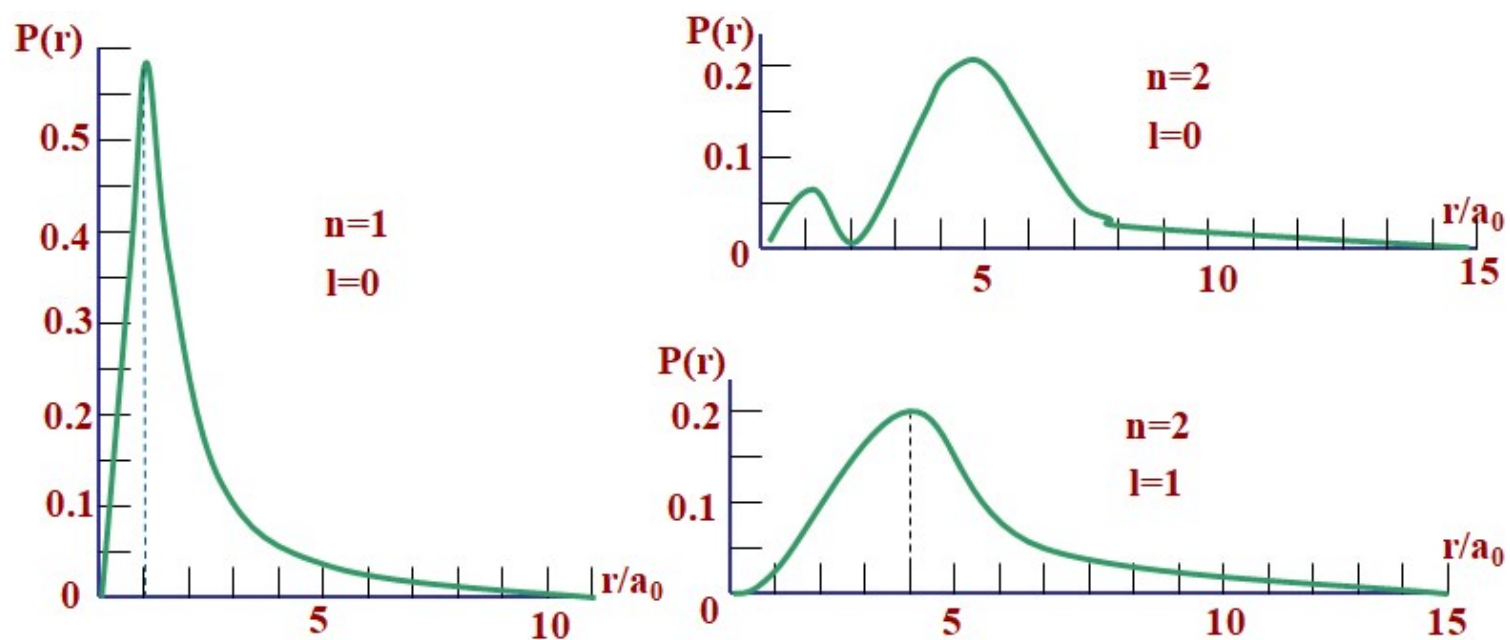
$$|\psi_{nlm_l}(r, \theta, \varphi)|^2 = |R_{nl}(r)\Theta_{lm_l}(\theta)\Phi_{m_l}(\varphi)|^2$$

设在空间体元 dV 内，电子出现的概率为：

$$\begin{aligned} |\psi_{nlm_l}(r, \theta, \varphi)|^2 dV \\ = |R_{nl}(r)\Theta_{lm_l}(\theta)\Phi_{m_l}(\varphi)|^2 r^2 \sin \theta dr d\theta d\varphi \end{aligned}$$

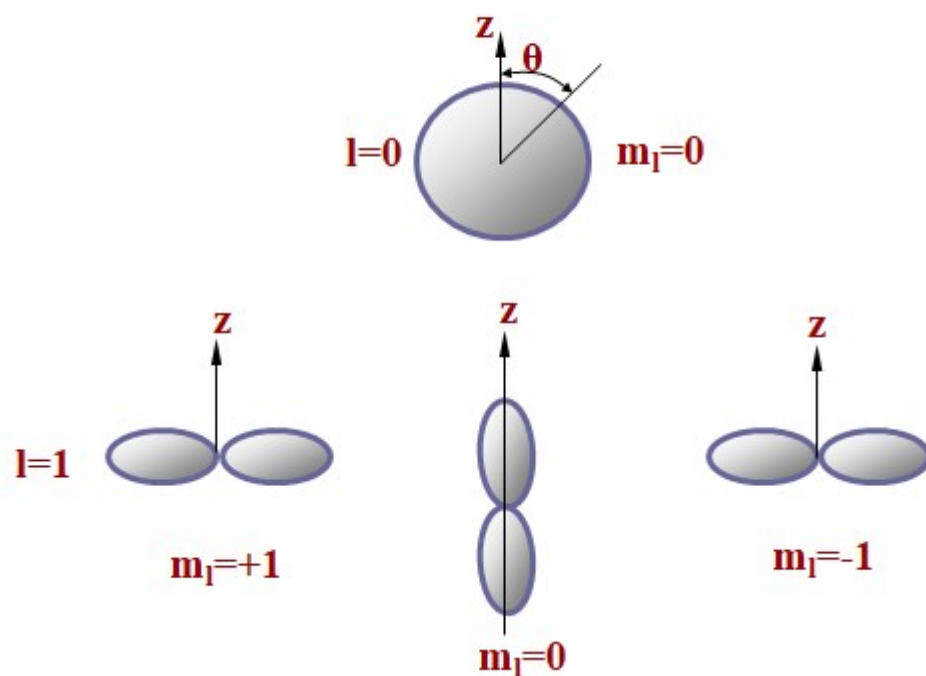
式中： $|R_{nl}(r)|^2 r^2$ 称为径向概率密度。

粒子径向概率密度用 $P(r)$ 表示，与 r 的关系式见下图：



$P(r)$ 与 r 的关系

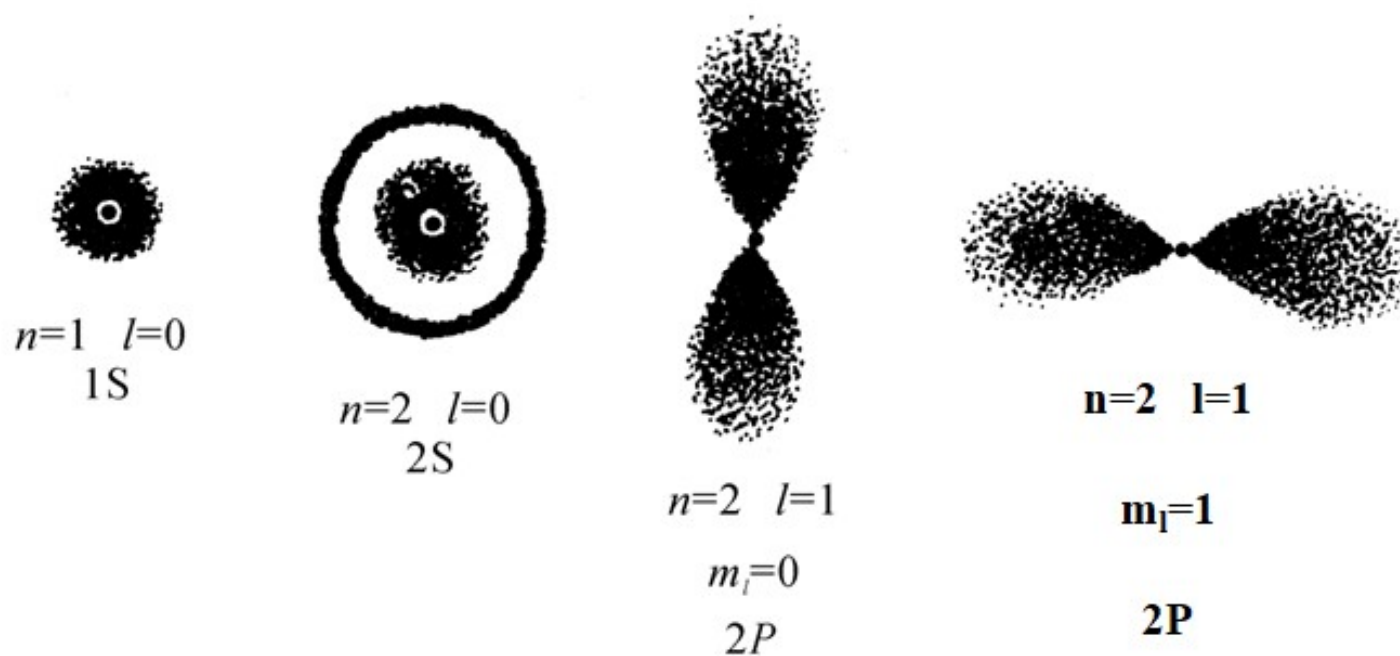
角向概率分布与 φ 无关，只与 θ 有关，因此下图中角向概率分布对于Z轴为旋转对称：



从原点到曲线某点的距离代表该方向上的概率大小。

径向与角向分布结合构成电子空间概率分布。

将概率密度大的区域用浓影表示，概率密度小的区域用淡影表示，称这样的阴影为电子云。



课堂练习题24-3:

试证明氢原子1s态电子的径向概率分布极大值在玻尔半径处。

解：氢原子1s态电子的径向波函数为：

$$R_{1,0}(r) = \frac{2}{\sqrt{a_0^3}} e^{-r/a_0}$$

当则，径向概率密度为：

$$P(r) = |R_{1,0}(r)|^2 r^2 = r^2 \frac{4}{a_0^3} e^{-2r/a_0}$$

取 $\frac{dP(r)}{dr} = 0$ ，就可得径向概率密度极大值位置：

$$\begin{aligned}\frac{d}{dr}\left[r^2 \frac{4}{a_0^3} e^{-2r/a_0}\right] &= \left(4r^2 \frac{1}{a_0^3}\right)\left(-\frac{2}{a_0} e^{-2r/a_0}\right) + 8r \frac{1}{a_0^3} e^{-2r/a_0} \\ &= 8r \frac{1}{a_0^3} e^{-2r/a_0} \left(1 - \frac{r}{a_0}\right) = 0\end{aligned}$$

则有：

$$1 - \frac{r}{a_0} = 0 \quad r = a_0$$

电子在 $r=a_0$ 处出现的径向概率最大。

§ 24-5 电子的自旋

1921年，施特恩和格拉赫为验证电子角动量的空间量子化进行了实验。

他们的实验思想是：如果原子磁矩在空间的取向是连续的，则原子束经过不均匀磁场将发生偏转，将在照相底板上得到连成一片的原子沉积；如果原子磁矩在空间取向是分立的，那么原子束经过磁场偏转后，在底板上将得到分立的原子沉积。

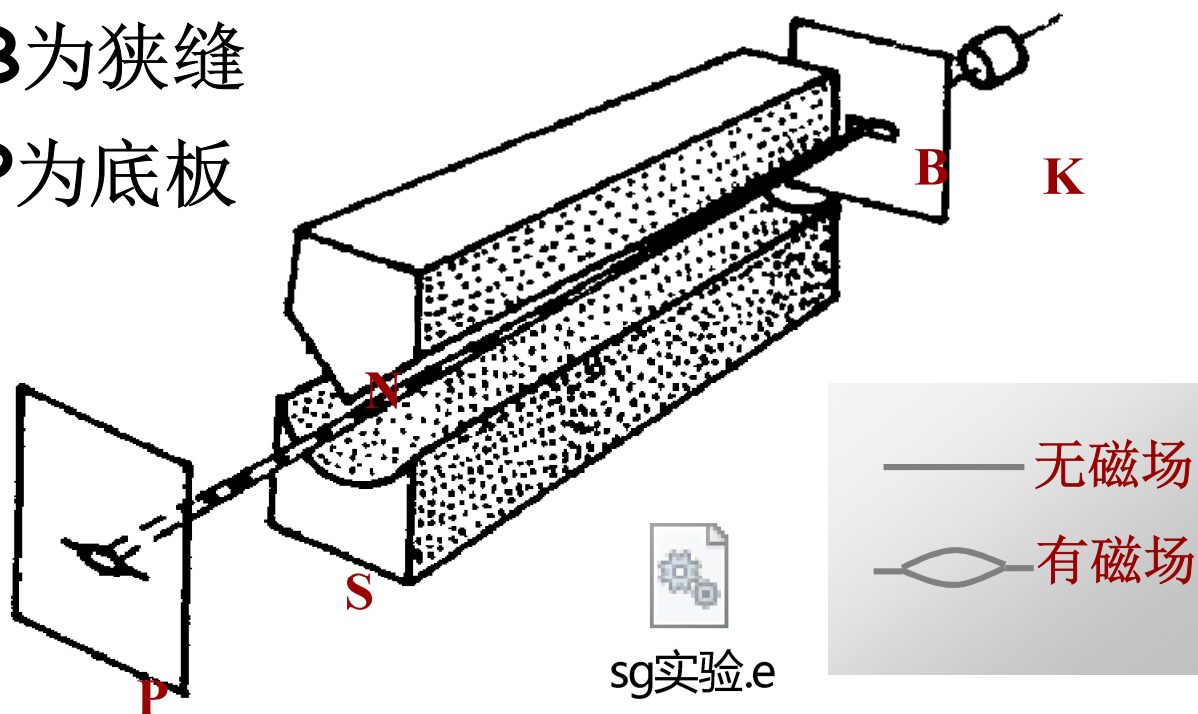
其实验装置如下图所示：

整个装置放在真空容器中：

K为原子射线源

B为狭缝

P为底板



施特恩-格拉赫实验

按照空间量子化理论，当 l 一定时， m_l 有 $2l+1$ 个取向，因此，原子在上述实验中应有奇数条沉积。当时的实验中用的是银原子的s态 $l = 0$ ， $m_l = 0$ ，其轨道磁矩为零，所以理论上，在照相底版上应该只有一条沉积。

但实际实验结果是：照相底版上有两条沉积。

1925年，荷兰的乌伦贝克和古兹密特提出电子自旋假设，即：电子除轨道运动外还存在一种自旋运动，具有自旋角动量 \mathbf{S} 和自旋磁矩 μ_s 。

自旋角动量为: $S = \sqrt{s(s+1)}\hbar$

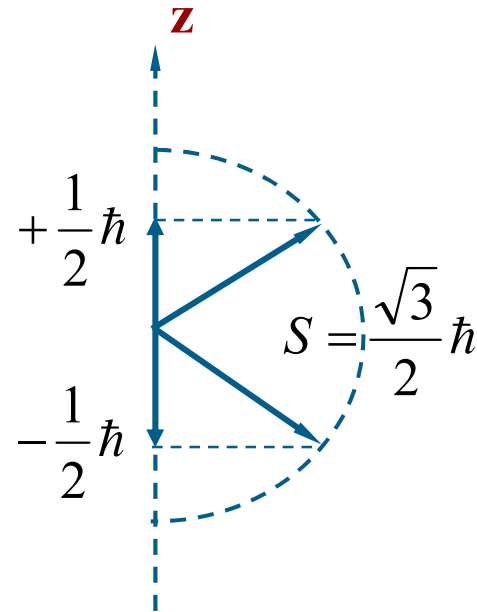
电子自旋角动量同样是空间量子化的, 在外磁场方向的分量为:

$$S_z = m_s \hbar$$

m_s 称为自旋磁量子数,
其取值为 **$m_s = \pm 1/2$** 。

电子自旋角动量的数值为:

$$S = \frac{\sqrt{3}}{2}\hbar \quad S_z = \pm \frac{1}{2}\hbar$$



➤原子中的电子状态应由四个量子数确定

①主量子数 n : $n=1, 2, 3, \dots$ 。

大致决定原子中电子的能量。

②角量子数 l : $l=0, 1, 2, \dots, (n-1)$ 。

可以决定电子轨道角动量。处于同一主量子数 n 而不同角量子数 l 的状态中的电子，其能量稍有不同

③磁量子数 m_l : $m_l=0, \pm 1, \pm 2, \dots, \pm l$ 。

可以决定轨道角动量在外磁场方向上的分量。

④自旋磁量子数 m_s : $m_s=\pm 1/2$ 。

可以决定电子自旋角动量在外磁场方向上的分量。

➤ 电子在原子中的分布遵从以两个原理

① 泡利不相容原理 (1925):

在一个原子系统内，不可能有两个或两个以上的电子具有相同的状态，亦即不可能具有相同的四个量子数。这称为泡利不相容原理。

当 n 给定时， l 的可能值：0, 1, ..., $n-1$ 共 n 个；当 l 给定时， m_l 的可能值：- l , - $l+1$, ..., 0, ..., $l-1$, l 共 $2l+1$ 个；当 n 、 l 、 m_l 给定时， m_s 可取 $1/2$, $-1/2$ 。由泡利不相容原理，同一 n 时的电子数最多为：

➤ 电子在原子中的分布遵从以两个原理

① 泡利不相容原理 (1925) :

在一个原子系统内，不可能有两个或两个以上的电子具有相同的状态，亦即不可能具有相同的四个量子数。这称为泡利不相容原理。

$$Z_n = \sum_{l=0}^{n-1} 2(2l+1) = 2n^2$$

在**1s**, **2p**, **3d**等各支壳层中，最多能容纳的电子数为：**2, 6, 10...**，

可表示为：**1s², 2p⁶, 3d¹⁰** 等。

➤ 电子在原子中的分布遵从以两个原理

① 泡利不相容原理 (1925) :

在一个原子系统内，不可能有两个或两个以上的电子具有相同的状态，亦即不可能具有相同的四个量子数。这称为泡利不相容原理。

② 能量最小原理:

在正常情况下，原子中每个电子都趋向于占据能量最低的能级。当原子中的电子处于可能的最低能级时，原子处于稳定状态。

课堂练习题24-4:

试求:1) $n=4$ 时, l 的可能取值; 2) $l=4$ 时, m_l 的可能取值; 3) $l=4$ 时, n 的最小可能取值; 4) $n=3$ 时, 电子可能的状态数。

解: 根据主量子数 n , 轨道量子数 l 和磁量子数 m_l 之间的关系可知。

对一定的 n , l 的可能取值为:

$$0, 1, 2, \dots, (n-1)$$

对一定的 l , m_l 的可能取值为:

$$0, \pm 1, \pm 2, \dots, \pm l$$

1) $n=4$ 时, l 的可能取值为4个, 分别为:
 $l=0, 1, 2, 3$

2) $l=4$ 时, m_l 的可能取值为9个, 分别为:
 $m_l=0, \pm 1, \pm 2, \pm 3, \pm 4$

3) $l=4$ 时, n 的最小可能值为5
 l 的最大可能值为 $(n-1)$

4) $n=3$ 时, 电子可能状态数为 $2n^2=18$

课堂练习题24-5:

氢原子中的电子处于 $n=4$, $l=3$ 的状态。求: **1)**该电子角动量 L 的值; **2)**该角动量在 Z 轴上分量的可能取值; **3)**角动量 L 与 Z 轴的夹角的可能取值。

解: **1)**电子绕核运动的角动量为

$$L = \sqrt{l(l+1)}\hbar = \sqrt{12}\hbar$$

2)轨道角动量在 Z 轴上分量的可能取值($l=3$):

$$L_z = m_l \hbar \quad m_l = 0, \pm 1, \pm 2, \pm 3$$

故 L_z 可能的取值为: $0, \pm\hbar, \pm 2\hbar, \pm 3\hbar$

3)如图，角动量 \mathbf{L} 与 \mathbf{Z} 轴的夹角的可能取值分别为：

$$\theta = \arccos L_z / L$$

$$m_l = 3, \quad \theta = \arccos 3 / \sqrt{12} = 30^\circ$$

$$m_l = 2, \quad \theta = \arccos 2 / \sqrt{12} = 54.7^\circ$$

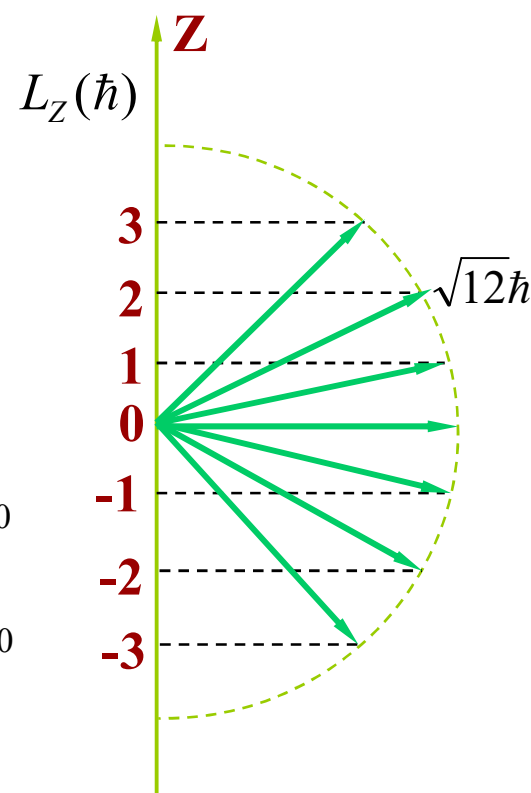
$$m_l = 1, \quad \theta = \arccos 1 / \sqrt{12} = 73.2^\circ$$

$$m_l = 0, \quad \theta = \arccos 0 = 90^\circ$$

$$m_l = -1, \quad \theta = \arccos(-1 / \sqrt{12}) = 106.8^\circ$$

$$m_l = -2, \quad \theta = \arccos(-2 / \sqrt{12}) = 125.3^\circ$$

$$m_l = -3, \quad \theta = \arccos(-3 / \sqrt{12}) = 150^\circ$$



课堂练习题24-6*:

设氢原子的轨道角动量为 \mathbf{L} ，当它置于外磁场 \mathbf{B} 中时，求： \mathbf{L} 对外磁场 \mathbf{B} 的取向和磁相互作用能。

解：电子的轨道运动所产生的磁矩：

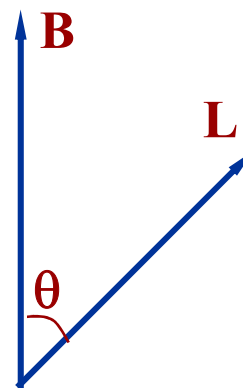
$$\vec{\mu}_e = -\frac{e}{2m} \vec{L}$$

因 \mathbf{L} 在磁场方向上的投影只能取

$$L_z = m_l \hbar \quad (m_l = 0, \pm 1, \dots, \pm l)$$

如图所示，设 \mathbf{L} 与 \mathbf{B} 间夹角为 θ ，则：

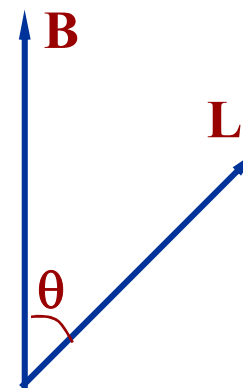
$$\cos \theta = \frac{L_z}{L} = \frac{m_l}{\sqrt{l(l+1)}}$$



根据空间量子化的条件可知， m_l 共有 $2l+1$ 个取值，所以 \mathbf{L} 对外场 \mathbf{B} 有 $2l+1$ 个取向。

磁矩为 μ_e 的磁偶极子与外磁场的磁相互作用能为：

$$\begin{aligned} W &= -\vec{\mu}_e \cdot \vec{B} = \left(\frac{e}{2m}\right) \vec{L} \cdot \vec{B} = \left(\frac{e}{2m}\right) LB \cos \theta \\ &= \left(\frac{e}{2m}\right) \sqrt{l(l+1)} \hbar B \cdot \frac{m_l}{\sqrt{l(l+1)}} = m_l \left(\frac{e\hbar}{2m}\right) B \end{aligned}$$



由于 m_l 共有 $2l+1$ 个取值，所以有多少个磁相互作用能。故原子处在外磁场中时，原来一个能有级会分裂成 $2l+1$ 个。

第十四次作业 原子的玻尔理论

P432

24-1

24-3

24-5

24-7

24-10

24-11